

SOLDAGEM POR FSW (FRICTION STIR WELDING) DA LIGA DE ALUMÍNIO 6063T6 UTILIZANDO FERRAMENTA CIRCULAR E CÔNICA.

<u>Weber de Melo Mesquita</u> (1); Kleber Ribeiro da Silva (2); Daniel Assis Amâncio (3); Paulo Henrique Paulista (4).

- ¹ Aluno de graduação do curso de Engenharia de Produção. Centro Universitário de Itajubá FEPI. weber.mmesquita@gmail.com.
- ² Aluno de graduação do curso de Engenharia de Produção. Centro Universitário de Itajubá FEPI. kleber.ribeiroos@yahoo.com.br.
- ³ Doutorando em Engenharia Mecânica. Universidade Federal de Itajubá UNIFEI. daniel assis amancio@hotmail.com.
- Mestre em Engenharia de Produção. Universidade Federal de Itajubá UNIFEI. paulohpaulista@gmail.com.

RESUMO

O processo de soldagem por fricção (FSW - Friction Stir Welding), soldagem em estado sólido, é uma nova técnica utilizada para fusão de materiais sem haver junção dos mesmos. As ligas de alumínio são submetidas a uma variedade de tratamentos térmicos, objetivando a obtenção de melhores propriedades mecânicas. Entrentanto, estes tratamentos térmicos podem provocar susceptibilidade a diferentes tipos de ataques localizados (pite, corrosão intergranular e esfoliação). A qualidade da soldagem está ligada aos diversos parâmetros do processo (geometria da ferramenta e sua inclinação em processo, a velocidade de avanço da soldagem e a velocidade de rotação do ferramental). As propriedades mecânicas do material após o processo FSW são semelhantes ao seu estado inicial, que favorece a aplicação deste processo em diversos segmentos, principalmente aeronáutico. Neste trabalho serão feitas análises por microscopia óptica e eletrônica de varredura (MEV) para avaliar a microestrutura do material, além da microdureza, verificando se houve variação sobre suas características iniciais, uma vez que a área de soldagem sofrerá superaquecimento no ponto central da junção das peças e nas extremidades. Também irá-se analisar o desgaste do ferramental utilizado de fabricação própria em aço AISI H13 (aço ferramenta) e SAE 52100 (aço para construção mecânica). O presente trabalho teve como objetivo a caracterização de um solda FSW com uma ferramenta cônica e cricular da liga de alumínio 6063T6 com espessura de 3,20 x 31,75 x 200,00mm.

Palavras-chave: Soldagem FSW, Soldagem por fricção, Friction Stir Welding.

INTRODUÇÃO

A necessidade de novas técnicas soldagens feitas nas indústrias aeronáutica e automobilística fazem com que realizadas diversas pesquisas buscando novos métodos e materiais a serem utilizados para junção de peças, tendo como meta gerar o menor impacto possível nas propriedades mecânicas do material, reduzir o impacto ambiental durante o processo, o que proporciona desenvolvimento de 0 equipamentos е estruturas de alto desempenho. Este processo de soldagem por fricção, termo em inglês Friction Stir Welding

(FSW), destaca-se como uma técnica capaz de estabelecer melhorias nos parâmetros na soldagem de peças onde seja necessária uma padronização das características do material. A soldagem FSW possibilita que a peça soldada apresente propriedades mecânicas similares ao seu estado inicial. Para a construção industrial, aeronáutica automobilística tais resultados são de extrema importância. As misturas de materiais nos componentes podem interferir na composição da área soldada, como eletrodos e gases. Uma das vantagens do processo de soldagem FSW é a sua aplicabilidade no alumínio e suas ligas, que se destacam dos outros materiais devido a seu baixo peso específico e alta

resistência mecânica de suas ligas. ABAL (2012) cita que a elevação do uso de ligas de alumínio na indústria aeronáutica automobilística permite que os processos de soldagem aparecam como um ponto crítico do processo industrial, devido as propriedades do material se desgastarem ao gerar a fusão do metal e, por isso é necessário a realização de estudos sobre a técnica de soldagem FSW. Microscópio Eletrônico Análise em Varredura (MEV) possibilitará investigar os efeitos da soldagem no material e o comportamento do cordão de solda em cada fronteira dos diferentes corpos-de-prova. O ensaio de dobramento nos fornecerá uma indicação qualitativa da ductilidade do material na área soldada. Seá utilizado o método de dobramento semiguiado, de tal modo que uma das extremidades do corpo de prova fica presa e a outra sofre a aplicação de força; a força também pode ser aplicada em outro local do corpo de prova. O tipo de dobramento será o dobramento transversal de face dobramento lateral transversal, eixo longitudinal do cordão de solda forma um ângulo de 90° em relação ao eixo longitudinal do corpo de prova a ser dobrado. Nesse caso. o dobramento será realizado de maneira que uma das superfícies laterais do corpo de prova, onde a solda está cortada de topo. torne-se convexa em relação ao corpo de prova dobrado. Todos os ensaios serão executados de acordo com a norma ASME, secção IX, item QW-163, onde especifica que o ensaio é aceitável se não ocorrerem trincas e descontinuidades maiores que 3,2mm, na solda ou entre a zona de ligação, medidos em qualquer direção. Trincas com origem a partir das bordas do corpo de prova ensaiado devem ser desconsideradas, a menos que evidenciem presença de outras descontinuidades.

Serão realizados testes de microdureza dos utilizados materiais na pesquisa comparar e avaliar as alterações realizado o processo FSW. Cargas poderão ser submetidas na peça ao serem instaladas em ambientes industriais e/ou de extração, correndo 0 risco de haver esforços indesejados nas zonas de junção dos materiais.

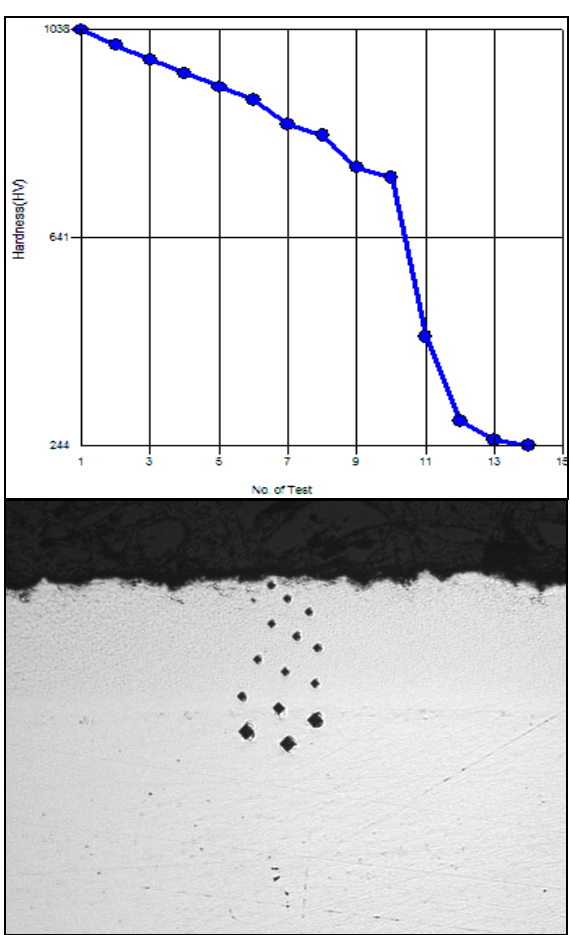


Gráfico 1 - Dureza e avaliação metalúrgica após têmpera e nitretação no ferramental em AISI H13

Elemento	Simbologia	Percentual		
Carbono	С	0,40		
Manganês	Mn	0,4		
Silício	Si	1,0		
Cromo	Cr	5,0		
Molibdênio	Мо	1,30		
Vanádio	V	1,0		

Tabela 1 - Composição AISI H13. Adaptado GGD Metals. Catálogo de fornecimento (2016). Disponível em http://www.ggdmetals.com.br/cat/H13.pdf

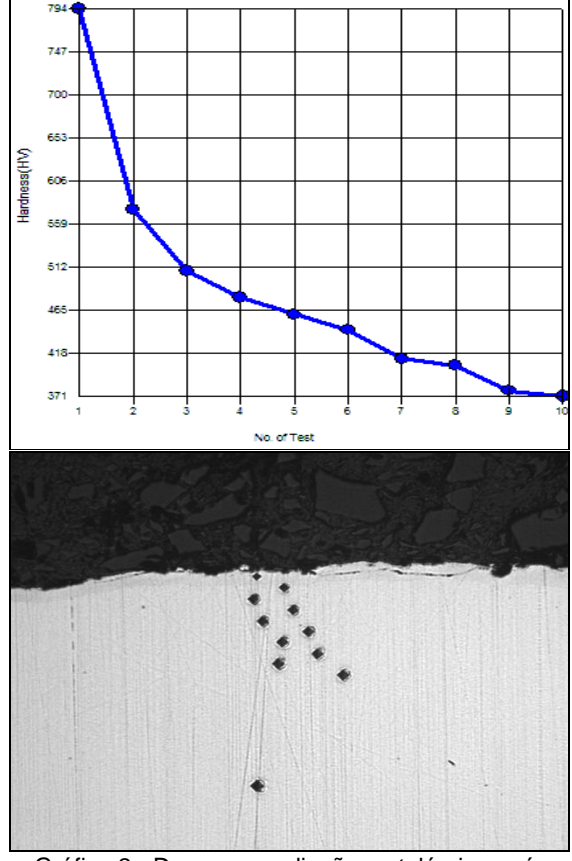


Gráfico 2 - Dureza e avaliação metalúrgica após têmpera e nitretação no ferramental em SAE 52100

Elemento	Simbologia	Percentual	
Carbono	С	0,98 ~ 1,10	
Silício	Si	0,15 ~ 0,35	
Manganês	Mn	0,25 ~ 0,45	
Cromo	Cr	1,30 ~ 1,60	

Tabela 2 - Composição SAE 52100. Adaptado GGD Metals. Catálogo de fornecimento SAE 52100 (2016). Disponível em http://www.ggdmetals.com.br/cat/52100.pdf

MATERIAL E MÉTODOS

As ferramentas foram submetidas em tratamento térmico para elevar a dureza das mesmas, evitando possíveis problemas no processo como esforços excessivos e quebra. Utilizaremos a têmpera e a nitretação para obter este resultado.

Na têmpera, será realizado o resfriamento em óleo, o aço é pré-aquecido a 840-850 °C para equalização de temperatura antes do

aquecimento até а temperatura de austenização. O tratamento termoquímico de nitretação consiste da modificação superfícies de ligas ferrosas, no estado sólido, por difusão de nitrogênio no interior do reticulado cristalino, onde a ferrita é mais estável, e em temperaturas na faixa de 350 a 590°. Nitretação por meio de gás amônia, envolvendo apenas a adsorção de nitrogênio, quando além do nitrogênio, o carbono também é introduzido. Este tratamento é chamado de nitrocarbonetação, podendo ser desenvolvido numa atmosfera gasosa, em banho de sal ou utilizando a tecnologia de superfície nitretada. Após o tratamento de nitretação gasosa, as peças são submetidas а avaliação metalúrgica, para verificar se os requisitos de espessura de camada e dureza foram satisfatórios.

Com os corpos-de-prova fixados na mesa de uma fresadora, uma ferramenta cilíndrica com ponta não deteriorável, em rotação, é inserida na junção dos corpos-de-prova até o contato da ferramenta com a superfície superior desta junção, onde a rotação gera calor por meio de atrito (Figura 1). O pino da ferramenta tem dimensão menor à penetração desejada, inserindo na junta.



Figura 1 – Conjunto de fixação na mesa da fresadora.

A figura 2 nos mostra o aquecimento resultante da fricção ao elevar a temperatura na área de soldagem até que o material entre em estado plástico e do ferramental mescle o material dos corpos-de-prova, fundindo-os.



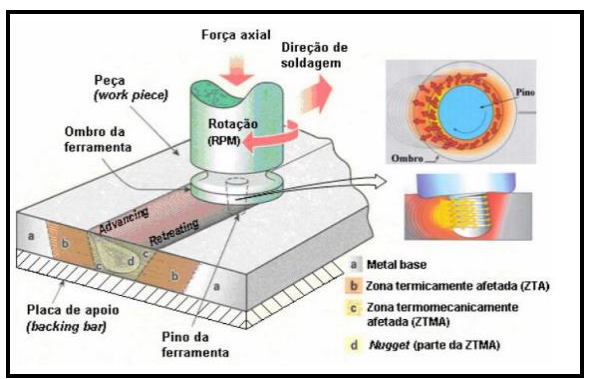


Figura 2 - Parâmetros da soldagem por fricção (FSW). Fonte: CRUZ e NETO, 2009 p.6.

Com as condições termomecânicas adequadas determinadas, deve-se iniciar o deslocamento linear na direção de soldagem. A Figura 3 descreve o conceito global da soldagem FSW dividido em 4 etapas:

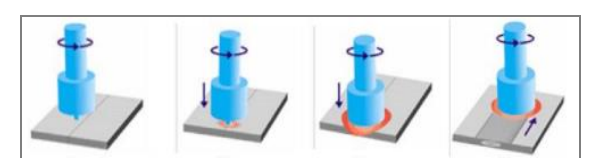


Figura 3 - Etapas iniciais da soldagem FSW Fonte: Rodriguez et al, 2013 p.4.

Confeccionamos dois perfis do ferramental FSW, apresentando diferenças na geometria do pino de inserção e do suporte, realizando experimentos utilizando geometria cônica e cilíndrica.



As amostras aprovadas serão utilizadas em ensaio mecânico de microdureza, permitindo conhecer a interação entre a variável ferramenta e a obtenção de soldas com menor presença de cavidades no interior da solda para um intervalo de parâmetros selecionados com base nos estudos de GIPIELA (2007) e da literatura. Os dados obtidos contribuirão com estudo sobre a interação entre os parâmetros fundamentais do processo, suas variáveis e com as propriedades mecânicas da

junta após o processo da soldagem, através da microdureza realizada no zona soldada.

RESULTADOS E DISCUSSÃO

Os ensaios mostraram total sucesso de acordo com o objetivo principal do trabalho. Foram utilizados parâmetros iguais para os dois ensaios como velocidade de rotação do ferramental, velocidade de soldagem linear e As chapas soldadas uniram-se de forma homogênea conforme esperado, obtendo um bom acabamento de acordo com o processo, conforme imagens abaixo:



Figura 4 – Chapa de alumínio 6063T6 unidas pelo processo FSW utilizando ferramental cônico.



Figura 5 – Chapa de alumínio 6063T6 unidas pelo processo FSW utilizando ferramental cilíndrico.



Figura 6 – Raiz das chapas de alumínio 6063T6 unidas pelo processo FSW utilizando ferramental cilíndrico.



A velocidade de penetração do ferramental mostrou ser um parâmetro relevante para iniciar a soldagem. Quando a velocidade de penetração está acima do esperado, a força excede a capacidade da fresadora, podendo avariar o ferramental. Nos ensaios, operamos com velocidade de 10 mm/min. Como o ferramental gira no sentido horário de rotação, a tendência é que seja criado menor formação de rebarba no lado do retrocesso da junta, como mostra a Figura 5. Uma razão que ajudou na formação de rebarba foi a penetração de 0,3 mm do ombro do ferramental, o que ocasionou a ejeção lateral de material proporcional ao volume relativo do mesmo nos corpos-de-prova. Apesar da geração de rebarbas, não houve problemas estéticos e/ou visuais aparentes na superfície da solda, alcançando uma baixa rugosidade na junção das placas. Na tabela abaixo podese evidenciar os parâmetros do processo:

Velocidade de rotação da ferramenta (rpm)	Velocidade de avanço da mesa (mm/min)	Velocidade de penetração (mm/min)	Penetração do ombro do ferramental (mm)	Altura do pino (mm)	Sentido de movimentação
2250	50	10	0,3	3,2	Discordante

CONCLUSÕES

De acordo com os resultados obtidos, o processo de soldagem por fricção apresenta grande potencial em seu uso nas indústrias automobilística e aeronáutica, principalmente, como é mostrado em diversos trabalho, pesquisas e publicações sobre este processo.

A soma da metodologia e a confecção adequada do ferramental proporcionou o sucesso na soldagem de ligas 6063 T6 que, por ser materiais com alta ductilidade estão suscetíveis ao aparecimento de trincas quando soldadas em processos envolvendo a fusão.

REFERÊNCIAS

- AMÂNCIO FILHO, S. T. Soldagem por fricção de junta dissimilar em ligas de alumínio de AA 2024 e AA 6056: microestrutura e propriedades. São Carlos: UFSCAR, 2002. 185 p. Dissertação de mestrado.
- ANDRADE T. C., SILVA C. C., MIRANDA H. C., MOTTA M. F., FARIAS J. P., BERGMAN L. A., DOS SANTOS J. F., Microestrutura de uma

Solda Dissimilar entre o Aço Inoxidável Ferrítico AISI 410S e o Aço Inoxidável Austenítico AISI 304L Soldado pelo Processo FSW. UFC, Ceará, dez. 2015.

- ASM Handobook. V.4. Heat Treating, 10° ed., 1991, ASM International (Ed.), Metals Park, Ohio.
- ASM Metals Handbook. Welding, brazing and soldering. United States of America: ASM International, 1995. v. 6. 2873 p. ASM Metals Handbook. Metallography and microstructures. United States of America: ASM International, 1995. v. 9. 2873 p.
- ASME, Secção IX, item QW-163. Edição 2010.
- GGD METALS. GRUPO GONÇALVES DIAS. Folheto de caracterização do aço AISI H13. 2016. Disponível em: http://www.ggdmetals.com.br/cat/H13.pdf>. Acesso em: maio. 2016.
- LAMOGLIA, M. S. Estudo da ocorrência de camada escura na superficie de anéis de pistão do terceiro canalete tratados termoquimicamente pelo processo de nitretação a gás. UNIFEI. Dissertação de Pós-Graduação. dez. 2015.
- VATAVUK, J.; ALVAREZ, S.D.M.; GARCIA, M.B. Efeito da nitretação na resistência à corrosão dos aços AISI H13, 201 e 440B; EBRATS, São Paulo, out. 1997.